

مقایسه‌ی اثر زاویه‌ی تورب در پل‌های ممتد مرکب بتنی - فولادی تحت بارگذاری آیین‌نامه‌ی ایران و آشتو

مهمنگی عمان شرف، (همایش ۱۴۶) دوری ۳-۲، شماره ۲/۱، ص. ۱۳-۱۱

غلامرضا نوری * (استادیار)

دانشکده‌ی فنی و هندسی، دانشگاه خوارزمی

Zahed Ahmadi (دانشجوی کارشناسی ارشد)

دانشکده‌ی فنی و هندسی، دانشگاه حقوق اردبیلی

با توجه به تفاوت رفتار سازه‌ی پل‌های با زاویه‌ی تورب نسبت به پل‌های عادی، مجامعتی دقیق پاسخ نسبت به بارهای وارد ضروری است. در این نوشتار، اثر زاویه‌ی تورب (کجی - بیه) در پل‌های ممتد مرکب بتنی - فولادی تحت اثر بارگذاری آیین‌نامه‌ی ایران و آشتون بررسی کامل شده است. بدین منظور پیش از ۷۲ پل ممتد مرکب فولادی - بتنی ۲ دهانه با نسبت ابعادی ۱/۵۵ و ۱/۸۲ و زاویه‌ی بیهی صفر الی ۶۰ درجه با استفاده از روش اجزاء محدود مدل‌سازی شده است. سپس نسبت‌های لنگر خمشی و نیروی برشی، ضرایب توزیع، تأثیر آذیش دیافراگم‌ها در ضرایب توزیع تحت اثر بارگذاری بارگذاری آشتون و بار عادی آیین‌نامه‌ی ایران برآورد و مقایسه شده است. نتایج حاصل نشان می‌دهند که با افزایش زاویه‌ی تورب، لنگرهای پایه‌ی میانی در شاهاتیرهای داخلی و خارجی کاهش می‌یابد. در بارگذاری براساس آیین‌نامه‌ی ایران، این کاهش در زاویه‌ی تورب ۲۰ درجه، حدود ۸٪ بوده است؛ اما با افزایش زاویه‌ی تورب در زاویه‌ی ۴۵ درجه، به حدود ۳۰٪ رسیده است. مقایسه‌ی نتایج لنگر خمشی نشان داده است که بارگذاری آیین‌نامه‌ی ایران نسبت به بارگذاری آیین‌نامه‌ی آشتون در پل‌های پیه‌دار ممتد ۲ دهانه، محافظه‌کارانه‌تر است. همچنین نیروی برشی در تکیه‌گاههای پایه‌ی میانی در اثر افزایش زاویه‌ی بیه در شاهاتیرهای خارجی افزایش و در شاهاتیرهای داخلی کاهش می‌یابد.

r.nouri@knu.ac.ir
lahrudi.civil@gmail.com

وازگان کلیدی: زاویه‌ی بیه، تورب عرضه، پل ممتد، ضرایب توزیع.

۱. مقدمه

گرفته شده است. در آیین‌نامه‌ی کانادایی OHBDC (۱۹۹۲)، علاوه بر فاصله‌ی شاهاتیرها، سختی‌های طولی و عرضی نیز لحاظ شده و نیز به پل‌های با دهانه‌ی ساده و زوایایی تورب کوچک پرداخته شده است.^[۱] آیین‌نامه‌ی آشتون LRFD (۲۰۱۰)، ضرایب توزیع بار زنده را تابعی از فاصله‌ی شاهاتیرها، ضخامت دال، و سختی تیر تیعنی کرده است.^[۲] ضرایب کاهشی آیین‌نامه‌ی آشتون بر حسب زاویه‌ی تورب است و ضرایب کاهش را در اثر زاویه‌ی بیه برای اعمال بر ضرایب توزیع بار زنده ارائه می‌کند.

با توجه به کمبود ضوابط در مورد ضرایب توزیع لنگر و برش در پل‌های ممتد و بیه‌دار در آیین‌نامه‌ها، مطالعات زیادی در این خصوص انجام شده است. در پژوهشی در سال ۱۹۹۰، ضرایب کاهشی برای احتساب اثر زاویه‌ی بیه و پیوستگی در پل‌هایی که دال عرضه به صورت ساده روی تکیه‌گاههای کناری و به صورت ممتد روی پایه‌ی میانی واقع شده است، در حالی که شاهاتیر I شکل فولادی در پایه‌های میانی غیرممتد است، ارائه و تتجه گرفته شده است که ضوابط آشتون، لنگر خمشی را درست پایین برآورد می‌کند.^[۳] آزمایش‌هایی نیز در سال ۱۹۹۴ جهت تعیین بار شکست پل‌های دو

زاویه‌ی تورب پل می‌تواند به عنوان زاویه‌یی که مابین خط عمود بر محور مرکزی پل و محور راه در تکیه‌گاههای پایه‌ها قرار می‌گیرد، تعریف شود. چنین سازه‌یی می‌تواند ناشی از موانع طبیعی، تقاطع‌ها، محدودیت‌های فضایی، دره‌ی کوهستان‌ها یا موانعی که خود بشر به وجود می‌آورد، باشد. ضرایب توزیعی که در آیین‌نامه‌های طراحی پل ارائه شده است، تحلیل و طراحی پل‌ها را آسان کرده است. ضرایبی که در آیین‌نامه‌ی ایران و آشتون (۲۰۰۳)، برای تحلیل پل‌های بدون بیه و دهانه ساده ارائه شده است، فقط تابعی از فاصله‌ی مرکز به مرکز شاهاتیرهای طولی است و استفاده از ضرایب مذکور توزیع به خصوص زمانی که پل مورب و ممتد است، می‌تواند منجر به تعیین لنگرهایی شود که برای طراحی بسیار محافظه‌کارانه باشند.^[۴] در آیین‌نامه‌ی ذکر شده، کاهشی در لنگرهای طولی به علت تورب عرضه در نظر گرفته نشده است. همچنین روش اثر ممتدی‌دون، وجود دیافراگم عرضی و نحوه‌ی آربیش آن، و نسبت دهانه نادیده

* نویسنده مسئول

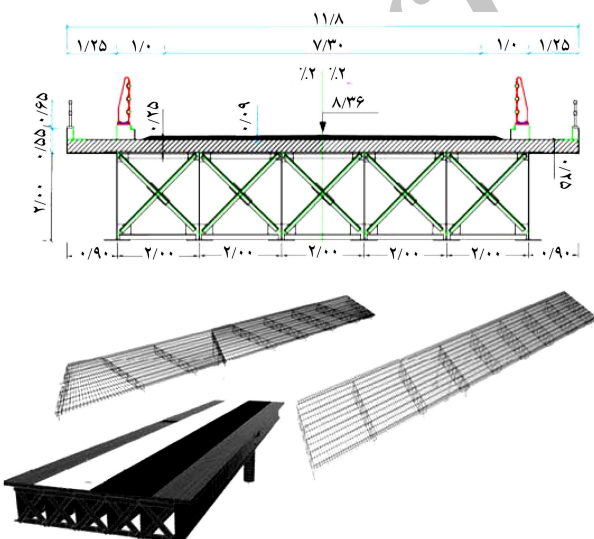
تاریخ: دریافت ۱۸/۹/۱۳۹۳، اصلاحیه ۱۳۹۴/۵/۲۸، پذیرش ۲۴/۶/۱۳۹۴.

روش کلی مورداستفاده در مطالعه‌ی حاضر برای بررسی و آنالیز تحلیل به روشن اجراء محدود با استفاده از نرم‌افزار SAP ۲۰۰۰ است.^[۲۳] در این مطالعه، رفتار تمامی المان‌ها کشسان و تعییرمکان‌ها و تغییرشکل‌ها کوچک فرض شده‌اند. عرضه‌ی بتی پل با استفاده از المان‌های چهارضلعی پوسته‌ی ۶ درجه آزادی در هر گره مدل شده است. این المان‌های مرباعی، به ابعاد بیشینه‌ی 3^0 متر در شبکه‌بندی عرضه‌ی پل استفاده شده‌اند. بار کامیون آشتو (HS ۲۰-۴۴) و بار عادی آئین نامه‌ی ایران از هر دو باند جهت تولید بیشینه‌ی نیروی برشی و لنگر خمشی عبور داده شده است. این سازه با کمک این فرضیات ایده‌آل سازی شده است:

۱. تمامی مصالح کشسان و همگن هستند.
۲. دال بتی عرضه در تمام عرض پل، ضخامت یکسانی دارد.
۳. نشیمنگاه شاهتیرها، فواصل یکسانی نسبت به هم دارند.
۴. دال عرضه و شاهتیرهای طولی بر روی تکیه‌گاه‌های انتهایی به صورت ساده تکیه داشته و از روی پایه‌ی میانی به صورت ممتد عبور کرده است.
۵. دال بتی و شاهتیرهای I شکل فولادی به صورت کامل‌آکامپوزیت عمل می‌کنند.
۶. دیافراگم‌های عرضی در تکیه‌گاه‌ها، پایه‌ی میانی و در طول دهانه با فاصله‌های معین قرار گرفته‌اند.
۷. از اجر جدول‌های کناری صرف نظر شده است.

۳. خصوصیات هندسی و سازه‌ی مدل‌ها

مدل‌های انتخابی شامل پل‌های ممتد مرکب فولادی - بتی ۲ دهانه با نسبت ابعادی N برابر با نسبت طول دهانه‌ی دوم به دهانه‌ی اول)، ۱،۱۵۵ و ۱،۸۲ هستند، که شاهتیرهای فولادی و دال بتی بر روی تکیه‌گاه‌های انتهایی پل به صورت ساده و در پایه‌ی میانی به صورت ممتد قرار گرفته‌اند. در شکل ۱، مقطع عرضی پل با ۲ خط عبوری براساس آئین نامه‌ی کانادایی OHBDC (۱۹۹۲)، که ۶ شاهتیر I شکل فولادی به ارتفاع ۲/۰۲ متر دارد، نشان داده شده است.^[۲۴] طول دهانه‌ی پل با توجه به نسبت ابعادی از ۲۴ متر تا حدود ۴۴ متر متغیر بوده است. استفاده از این



شکل ۱. مقطع عرضی پل ممتد با دو خط رفت و برگشت.

دهانه‌ی ساده و ممتد بیهوده انجام شده است.^[۲۵] همچنین در سال ۱۹۸۰، مطالعاتی به منظور مقایسه‌ی ضرایب توزیع تجربی ارائه شده برای زوایای بیهوده بزرگ انجام شده است.^[۲۶] در طی بررسی‌هایی بر روی پل‌های بیهوده تحت بارگذاری بار کامیون استاندارد آشتو، ضرایبی برای توزیع لنگر ارائه شده است؛ اما تأثیر آرایش دیافراگم عرضی و همچنین نسبت دهانه بررسی نشده است.^[۲۷] همچنین براساس نظر برخی پژوهشگران (۱۹۹۱)، بدون شک زاویه‌ی بیهوده پل، پارامتر مهمی در رفتار سازه‌ی پل، مانند واکنش‌های تکیه‌گاهی است.^[۲۸] در سال ۲۰۰۷ نیز اثر بارگذاری دینامیکی روی یک پل پیوسته‌ی جعبه‌بی مطالعه شده و این نتیجه به دست آمده است که اثر زاویه‌ی بیهوده در مقادیر بین صفر الی ۳۰ درجه، کم است.^[۲۹] همچنین در مدل‌سازی پل‌هایی با زاویه‌ی بیهوده بین صفر الی ۶۰ درجه (۲۰۱۲) استنتاج شده است که آئین نامه‌ی آشتو، مقدادر بالاتر از لنگر اختلاف گاه به 5% برای زوایای بیهوده درجه نیز می‌رسد.^[۳۰] در مدل‌سازی‌های دیگری (۲۰۱۲)، نیز رفتار پل‌ها با ساخت نمونه به مقیاس ۱:۸ و مدل‌سازی رایانه‌یی، در اثر زاویه‌ی بیهوده بررسی شده است.^[۳۱] پیش از همه در سال ۱۹۹۳، ۳۶ پل با دهانه‌های ۷۵ الی ۱۲۵ فوت و عرض ۳۹ الی ۶۶ فوت و زوایای بیهوده ۵، ۲۰، ۴۰ و ۶۰ درجه مدل‌سازی شده با فواصل مختلف شاهتیرها مدل شده و میراث لنگر خمشی ایجاد شده در شاهتیر بررسی شده است.^[۳۲]

در فصل پانزدهم آئین نامه‌ی طرح و محاسبه‌ی پل‌های بن آرمه‌ی ایران (۲۰۰۸)، ضوابطی تجربی برای تعیین سهم هر تیر از لنگرها خمشی ناشی از بار چرخ‌ها ارائه شده است، که مشابه آئین نامه‌ی آشتو است و فقط تابعی از فاصله‌ی بین شاهتیرهاست.^[۳۳] آئین نامه‌ی مذکور ضابطه‌یی برای زوایای بیهوده پیش از ۲۰ درجه ندارد و مدل‌سازی را در این شرایط الزامی کرده است. در نوشtar حاضر، پیش از ۷۲ مدل پل ممتد مرکب با نسبت‌های دهانه ۱، ۱/۵۵ و ۱/۸۲ بررسی شده‌اند و نتایجی ناشی از مطالعه‌ی پارامتری به روش اجزاء محدود بر روی پل‌های ممتد مرکب بتی - فولادی ۲ دهانه با زوایای تورب مقاومت ارائه شده است. اطلاعات استخراج شده از مطالعه‌ی پارامتری برای به دست آوردن نسبت لنگر خمشی و نیروی برشی، ضرایب توزیع تحت اثر بارگذاری بار کامیون استاندارد آشتو (HS ۲۰-۴۴)، و بار عادی آئین نامه‌ی ایران مورد استفاده قرار گرفته است.^[۳۴] همچنین در این مطالعه پارامترهای طول دهانه، زاویه‌ی تورب عرضه، اثر آرایش دیافراگم‌های عرضی، و نیز دقت روابط ساده‌ی پیشین درخصوص تحلیل عرضه‌های بیهوده مورد بررسی قرار گرفته‌اند.

۲. فرضیات تحلیل و مدل‌سازی

در سال ۱۹۸۶، مدلی برای شبیه‌سازی رفتار پل با استفاده از المان‌های قابی سه‌بعدی و المان‌های چهارگوش برای عرضه تهیه شده است.^[۳۵] در سال ۱۹۷۸ نیز مدل دیگری ارائه شده است که در آن المان‌های shell و المان‌های تیر به عنوان عرضه‌ی پل با قیود صلب به هم متصل شده‌اند.^[۳۶] همچنین در سال ۱۹۸۶، مدل‌سازی شاهتیرها با جزئیات بیشتر انجام شده است، بهنحوی که شاهتیرها به ۳ بخش تقسیم و بال‌ها به صورت المان shell با لینک‌های صلب به مرکز هر المان مدل شده است. در مدل دیگری نیز در سال ۱۹۹۲، المان صلب برای عرضه و المان shell برای شاهتیرها استفاده شده است.^[۳۷]

نوع عرضه، برای دهانه با طول حدود ۲۴ متر مرسوم است. فاصله‌ی شاهتیرها، ۲ متر از مرکز تا مرکز شاهتیر بعدی بوده است. مقاطع فولادی برای شاهتیرهای طولی I شکل به ارتفاع ۲ الی ۲/۲ متر متغیر بوده و از ورقهای به ضخامت ۲۰ میلی‌متر برای بال، ۱۵ میلی‌متر برای جان با شرایط جوش کارخانه‌ی از فولاد نوع ST52 استفاده شده است.

همه‌ی مدل‌ها تیر زیرسری از نوع بتني در پایه‌ی میانی داشته‌اند، که شامل ۳ ستون بتني دایره‌ی شکل به قطر ۱/۲ متر بوده‌اند، که به فاصله‌ی مرکز تا مرکز ۵/۶ متری از هم‌دیگر واقع شده‌اند. در تمامی مدل‌ها ضخامت دال بتني ثابت و برابر با ۲۵ سانتی‌متر بوده و از شبکه‌های سیمی جوش شده با مقاومت جاری‌شدن ۲۲۸ Mpa برای مسلح کردن تمامی عرضه‌ی پل‌ها استفاده شده است. از ناودانی به طول ۵۰ میلی‌متر به عنوان برش‌گیر برای تمامی پل‌های مدل شده استفاده شده است. دیافراگم‌های عرضه‌ی اریب نیشی‌های ۸ × ۱۸۰ هستند، که به صورت ضربه‌ی با وتر بالا و پایین به شاهتیر فولادی جوش شده‌اند.

با توجه به اینکه که زوایای بیشتر از ۶۰ درجه به ندرت عملآ ساخته می‌شود، زوایه‌ی بیهی از صفر تا ۶۰ درجه، متغیر خواهد بود.

۴. بارگذاری، شرایط مرزی و پارامترهای مورد بررسی

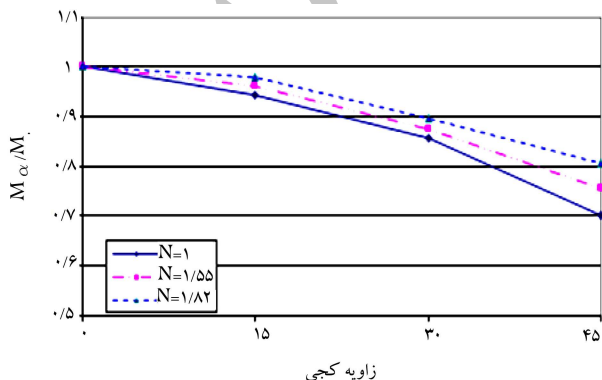
برای نقاط تکیه‌گاهی انتقال موازی و قائم بر سطح عرضه‌ی محدود شده، اجزاء‌ی حرکت فقط درجهت محور طولی پل داده شده است. از طرفی با توجه به فرض غلتکی‌بودن تکیه‌گاه، چرخش در تمامی جهات تعیین شده آزاد است. در پایه‌ی میانی، فقط بال پایینی شاهتیر طولی فولادی به تیر زیرسری متصل شده است. اتصال تیر زیرسری به پایه‌های بتني نیز گیردار فرض شده است.

بار عادی آینه‌نامه‌ی بارگذاری ایران (نشریه‌ی ۱۳۹)، و بارکامیون استاندارد HS ۲۰-۴۴ براساس مشخصات آشتو مورد استفاده قرار گرفته است.^[۱۸] با توجه به ماهیت بار عادی ایران، این بار به صورت بار متحرک،^۱ یعنی باری که از روی پل عبور داده می‌شود، تعریف شده است. نتایج حاصل از عبور بار در مراحل مختلف بار به عنوان بیشینه‌ی لنگر خمشی و نیروی برشی جهت تحلیل مورد بررسی و تفسیر قرار گرفته است. در بارگذاری آشتو از دو حالت بارگذاری استفاده می‌شود: در حالت اول، ۳ کامیون استاندارد (۲ کامیون در باند رفت و ۱ کامیون در باند برجست) و در حالت دوم، بار ۲ کامیون در یک باند طراحی به صورت استاتیکی خطی در مراحل تعریف شده،^۲ به مدل اعمال می‌شود. به طورکلی ۲۴ حالت بارگذاری برای هر یک از بارگذاری‌های فوق در روی عرضه تعریف شده است. اثر افزایش زوایه‌ی بیهی در بیشینه‌ی لنگر خمشی طولی تیرهای داخلی و خارجی و همچنین بیشینه‌ی برش در پایه‌ی میانی در اثر بارگذاری آینه‌نامه‌های ایران و آشتو برای نسبت‌های دهانه مختلف در پل بررسی و ارزیابی شده است. نتایج تحلیل المان محدود برای زوایای بیهی از صفر الی ۶۰ درجه با گام ۵ درجه، متناظر با تحلیل المان محدود پل غیرمرب (با بیهی صفر درجه) مقایسه شده است. نتایج این تحلیل به صورت نسبت لنگر خمشی M_α/M ارائه شده است، که در آن M_α بیشینه‌ی لنگر خمشی طولی ناشی از تحلیل المان محدود برای زوایای مختلف تورب و M لنگر ناشی از تحلیل در پل متناظر با زوایه‌ی بیهی صفر است. به طور مشابه نسبت V_α/V نیز برای برش بررسی شده است. دسته‌بندی مدل‌ها از روی نسبت ابعادی $N = L_2/L_1$ (طول دهانه‌ی بلند بر دهانه‌ی کوتاه) به ترتیب برای با ۱، ۱/۵۵ و ۱/۸۲ صورت پذیرفته است. در تمامی مدل‌ها، دهانه‌ی اول برای

۵. نسبت بیشینه‌ی لنگر طولی ناشی از تحلیل المان محدود در محل تکیه‌گاههای میانی پل بیه‌دار به عرضه‌ی بدون بیهی متناظر

تفصیرات نسبت لنگر خمشی M_α/M به ترتیب برای بیشینه‌ی لنگر خمشی طولی شاهتیرهای داخلی و خارجی بر حسب زوایه‌ی تورب برای هر ۳ نسبت دهانه‌ی در نظر گرفته شده، تحت بار عادی آینه‌نامه‌ی ایران و در حالتی که دیافراگم عرضه‌ی عمود بر شاهتیرهای طولی است، در شکل‌های ۲ و ۳ نشان داده شده است.

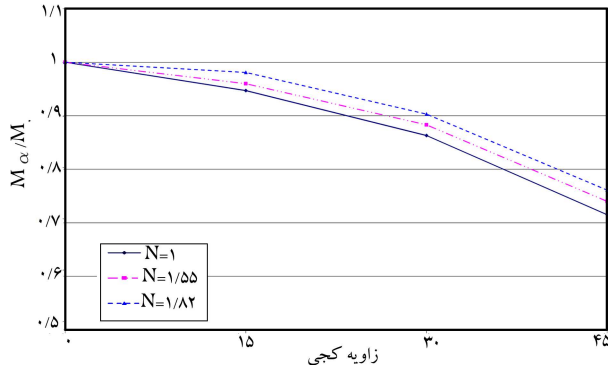
مطابق شکل ۲، با افزایش زوایه‌ی بیهی، بیشینه‌ی لنگرهاي خمشی طولی تیرهای داخلی در پایه‌ی میانی کاهش یافته است. این کاهش در لنگرهاي طولی، تا زوایه‌ی بیهی حدود ۲۰ درجه ناچیز و در حدود ۸٪ است. با افزایش زاویه، کاهش لنگر



شکل ۲. نسبت بیشینه‌ی لنگر خمشی طولی M_α/M در پایه‌ی میانی ناشی از تحلیل المان محدود، در شاهتیرهای داخلی تحت بار عادی آینه‌نامه‌ی ایران، دیافراگم عمود بر شاهتیر طولی.

جدول ۱. مشخصات مدل های مورد استفاده در تحلیل.

ردیف	بل (متر)	طول کل $L_1 + L_2$ (متر)	دهانه ای دوم L_2 (متر)	دهانه ای اول L_1 (متر)	$N = L_2/L_1$	زاویه دیافراگم (درجه)	زاویه تورب	گام تغییرات
۱	۴۸	۲۴	۲۴	۲۴	۱	۰	۶۰	۵
۲	۶۱,۲	۲۴	۳۷,۲	۲۴	۱,۰۵	۰	۶۰	۵
۳	۶۷,۷	۲۴	۴۳,۷	۲۴	۱,۰۸۲	۰	۶۰	۵



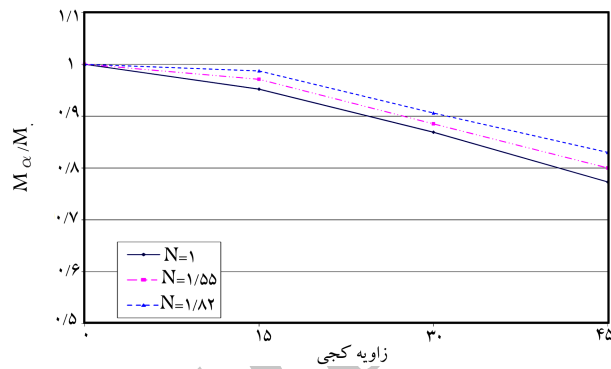
شکل ۵. نسبت بیشینه‌ی لنگر خمشی طولی M_α/M در پایه‌ی میانی ناشی از تحلیل المان محدود، در شاهتیرهای خارجی، تحت بار کامیون استاندارد آشتو، دیافراگم عمود بر شاهتیر طولی.

۱۷٪ و در زاویه‌ی ۴۵ درجه در حدود ۳۶٪ کاهش داشته است. کاهش لنگر در شاهتیرهای خارجی با الگویی مشابه شاهتیرهای داخلی است. این کاهش تا زاویه‌ی بیهی ۳۰ درجه، کمتر از ۱۵٪ و با افزایش زاویه تا ۴۵ درجه به حدود ۳۰٪ خواهد رسید. یافته‌های ذکرشده با نتایج برخی پژوهش‌ها،^[۱۳,۱۴] مبنی بر کاهش لنگرهای خمشی پایه‌ی میانی در اثر افزایش زاویه‌ی بیه در پل‌های معمتد مطابقت دارد. با مقایسه نمودارها می‌توان دریافت که کاهش لنگر در شاهتیرهای داخلی و خارجی در اثر بار کامیون استاندارد آشتو بیشتر از بارگذاری حاصل از بار عادی آین نامه‌ی ایران در پل متناظر است. لذا بارگذاری آین نامه‌ی ایران نسبت به بارگذاری آین نامه‌ی آشتو در پل‌های بیه‌دار ممتد ۲ دهانه محافظه‌کارانه عمل خواهد کرد.

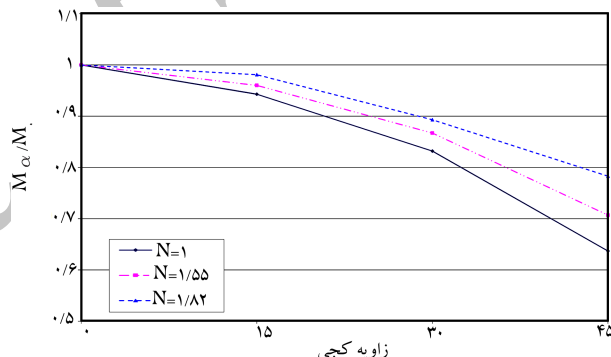
۶. اثر آرایش دیافراگم و زاویه‌ی تورب در نسبت لنگر خمشی

در یک بررسی آزمایشگاهی (۱۹۹۶)،^[۱۵] اهمیت وجود دیافراگم‌های عرضی در ضرایب توزیع پل مرکب بیه‌دار نشان داده شده است. آزمایش برروی پل مدل‌سازی شده نشان داده است که چنین اتصالاتی منجر به بهبود بخشیدن سختی پل، توزیع بهتر و افزایش ظرفیت باربری نهایی پل می‌شود.^[۱۶] با توجه به اینکه کاهش تلاش‌های خمشی در هر سازه از لحاظ اقتصادی مطلوب و بهینه است، لذا آرایشی از دیافراگم که بتواند لنگرهای خمشی را بیشتر کاهش دهد، مطلوب طراح خواهد بود. شکل‌های ۶ و ۷ به ترتیب اثر آرایش مختلف دیافراگم عرضی در کاهش بیشینه‌ی لنگرهای خمشی طولی تحت بارگذاری ایران و آشتو در شاهتیرهای داخلی را نشان می‌دهند.

در حالت آرایش دیافراگم عرضی موازی تورب عرضه و خطوط تکیه‌گاهی، کاهش بیشینه‌ی لنگرهای خمشی در شاهتیرهای داخلی در اثر آرایش زاویه‌ی بیه چندان محسوس نیست. این کاهش برای بارگذاری ایران تا زاویه‌ی ۳۰ درجه در حدود



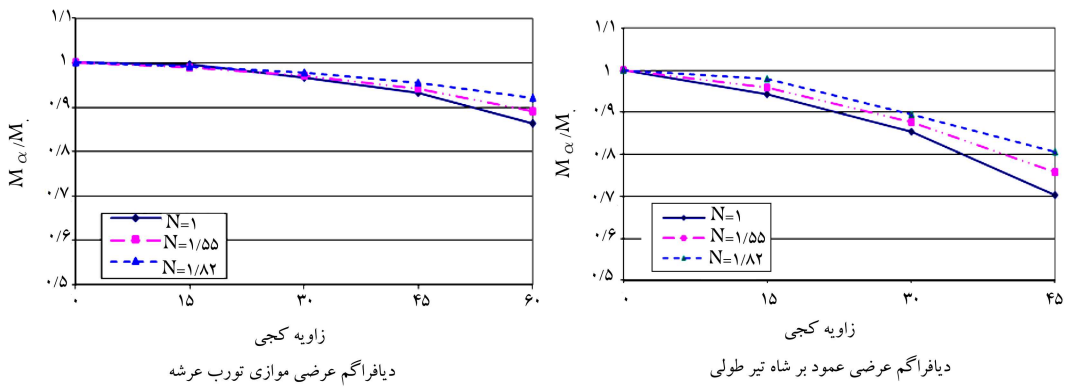
شکل ۳. نسبت بیشینه‌ی لنگر خمشی طولی M_α/M در پایه‌ی میانی ناشی از تحلیل المان محدود، در شاهتیرهای خارجی، تحت بار عادی آین نامه‌ی ایران، دیافراگم عمود بر شاهتیر طولی.



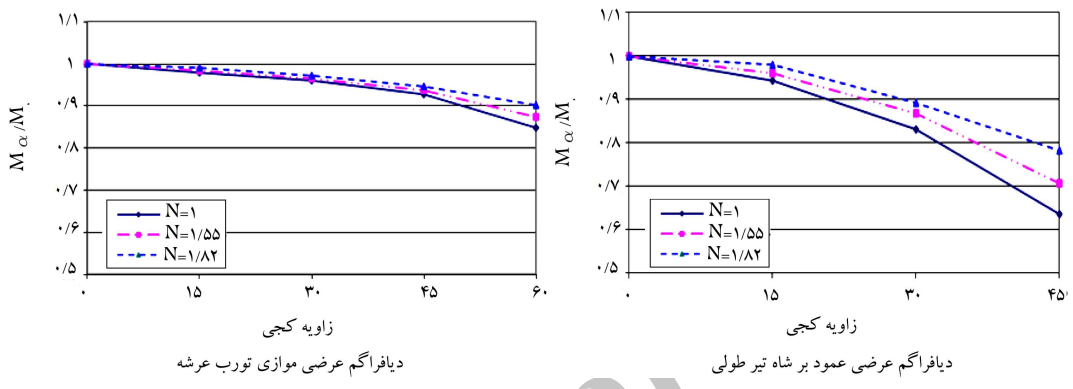
شکل ۴. نسبت بیشینه‌ی لنگر خمشی طولی M_α/M در پایه‌ی میانی ناشی از تحلیل المان محدود، در شاهتیرهای داخلی، تحت بار کامیون استاندارد آشتو، دیافراگم عمود بر شاهتیر طولی.

محسوس‌تر می‌شود، به‌طوری که این کاهش برای نسبت دهانه‌ی ۱، تا زاویه‌ی ۳۰ درجه در شاهتیرهای داخلی تا حدود ۱۴,۵٪ و تا زاویه‌ی ۴۵ درجه به حدود ۳۰٪ می‌رسد. هر چند در زوایایی ذکرشده، استفاده از ضرایب آین نامه‌ی طراحی پل‌های بتن آرمه‌ی ایران ناپذیر نیست.

مطابق شکل ۳، کاهش لنگر در شاهتیرهای خارجی نیز اتفاق می‌افتد، اما با افزایش زاویه‌ی بیه در شاهتیرهای خارجی، میزان این افت کمتر از شاهتیرهای داخلی است. این اثر برای زوایایی بزرگ تر از ۳۰ درجه قابل توجه است. بنابراین در طرح پل‌های بیه‌دار ممتد، طراحی شاهتیرهای خارجی کنترل‌کننده‌ی طراحی خواهد بود. برای بارگذاری آین نامه‌ی آشتو، از ۳ بار کامیون استاندارد آین نامه‌ی مذکور (HS2۰-۴۴) در ۲ باند طراحی برای نسبت‌های دهانه‌ی موردنظر استفاده شده است. همان‌طور که در شکل‌های ۴ و ۵ نشان داده شده است، کاهش نسبت لنگر در اثر افزایش زاویه‌ی بیه محسوس است، به‌طوری که تا زاویه‌ی ۳۰ درجه در حدود



شکل ۶. اثر آرایش مختلف دیافراگم عرضی در کاهش لنگر خمشی در شاهتیرهای داخلی تحت اثر بارگذاری بار عادی آینه‌نامه‌ی ایران.



شکل ۷. اثر آرایش مختلف دیافراگم عرضی در کاهش لنگر خمشی در شاهتیرهای داخلی تحت اثر بار کامیون استاندارد آشتو.

زاویه‌ی بیهی 30° درجه، در حدود ۹٪ بوده و با افزایش زاویه تا 45° درجه به ۱۸٪ رسیده است. برخلاف شاهتیرهای داخلی، برش پایه در اثر افزایش زاویه‌ی بیه در شاهتیرهای خارجی افزایش پیدا می‌کند. این افزایش تا زاویه‌ی بیه 30° درجه در حدود ۸٪ است، اما با افزایش زاویه تا 45° درجه به ۲۲٪ رسیده است.

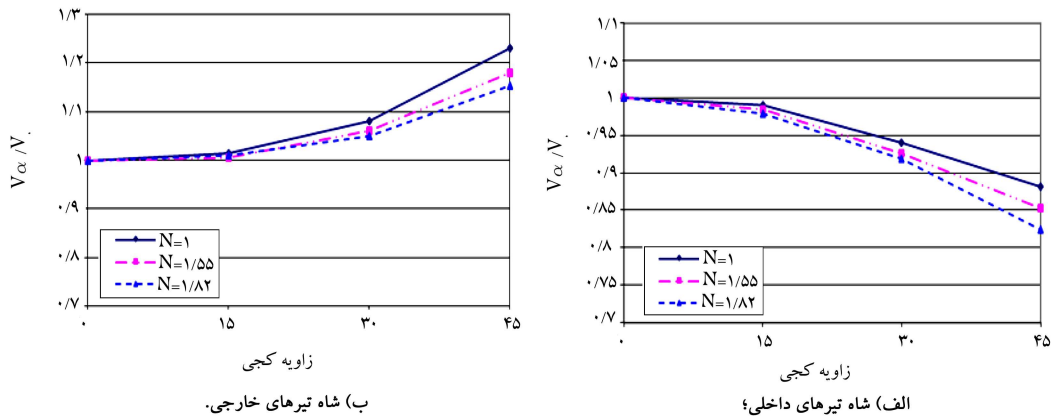
شکل ۹، تغییرات نسبت برش ناشی از تحلیل المان محدود را به ترتیب: (الف) برای شاهتیرهای داخلی و (ب) برای شاهتیرهای خارجی تحت بارگذاری آینه‌نامه‌ی آشتو در نسبت‌های مختلف دهانه نشان می‌دهد. همان‌طور که در شکل ۹ الف مشخص است، نیروهای برشی برای هر ۳ نسبت ابعادی در محل تکیه‌گاههای میانی پل ممتد مرکب در اثر افزایش زاویه‌ی بیه در شاهتیرهای داخلی کاهش پیدا می‌کند. به طوری که این نسبت در زاویه‌ی 30° درجه 8% کاهش داشته و با افزایش زاویه تا 45° درجه این کاهش به حدود 22% رسیده است. شکل ۹ ب، تغییرات نسبت نیروی برشی در شاهتیرهای خارجی در برابر زاویه‌ی بیه را نشان می‌دهد، می‌توان دریافت که با افزایش زاویه‌ی بیه، نیروهای برشی در محل تکیه‌گاههای میانی پل افزایش پیدا می‌کنند. این افزایش تا زاویه‌ی بیه 30° درجه در حدود 12% و با افزایش زاویه‌ی بیه به 45° درجه به حدود 30% رسیده است. با استفاده از نمودار می‌توان دریافت که نیروی برشی در محل تکیه‌گاههای میانی پل ممتد در شاهتیرهای داخلی و خارجی با افزایش نسبت دهانه (N) کاهش می‌یابد. از مطالعه‌ی نمودارها می‌توان به این نتایج اشاره کرد:

۱. در پل‌های ممتد مرکب بیه‌دار با بارگذاری کامیون آشتو در اثر افزایش زاویه‌ی

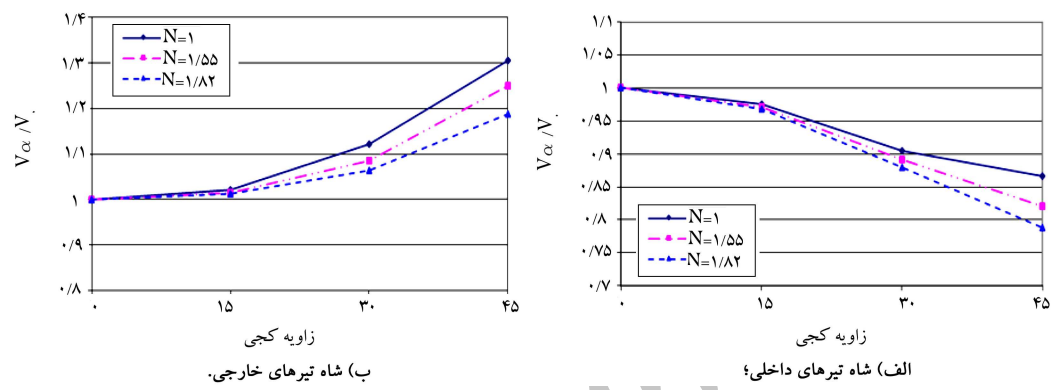
ناچیز بوده و با افزایش زاویه‌ی بیه تا زاویه‌ی 60° درجه، کاهش لنگر در شاهتیرهای داخلی به حدود 14% رسیده است. در بارگذاری آشتو، بیشینه‌ی لنگرهای خمشی طولی در این حالت در اثر افزایش زاویه‌ی بیه تغییر چندانی نمی‌کند. به‌طوری که تا زاویه‌ی بیه 30° درجه، کاهش لنگر در شاهتیرهای داخلی کمتر از 4% است، اما با افزایش زاویه‌ی بیه تا 60° درجه به حدود 15% رسیده است. از مطالعه‌ی این دو حالت می‌توان دریافت که حالت دیافراگم عرضی عمود بر شاهتیرهای طولی، بهترین آرایش در پل‌های مورب هستند. این نتیجه با یافته‌های پژوهشی در سال ۲۰۰۳^[۶] در بررسی اثر دیافراگم عرضی در پل‌های با دهانه‌ی ساده‌ی بیه‌دار با شاهتیرهای بتنی پیش‌تیید مطابقت دارد.

۷. نسبت بیشینه‌ی برش در محل تکیه‌گاههای میانی پل ناشی از تحلیل المان محدود به عرضه‌ی بدون بیهی متناظر

در بررسی تغییرات نیروی برشی در پایه‌ی میانی در اثر تورب عرش، تغییرات نسبت V_α/V در برابر زاویه‌ی بیه برای نسبت‌های دهانه‌ی موردنظر تحت بار عادی آینه‌نامه‌ی ایران در حالتی که دیافراگم عرضی عمود بر محور طولی شاهتیرهای پل است، مورد مطالعه قرار گرفته است. شکل ۸، تغییرات نسبت V_α/V در برابر زاویه‌ی بیه را برای شاهتیرهای داخلی و خارجی نشان می‌دهد. همان‌طور که ملاحظه می‌شود، در اثر افزایش زاویه‌ی بیه، برش در شاهتیرهای داخلی (در محل تکیه‌گاههای میانی پل) کاهش پیدا می‌کند. این کاهش تا



شکل ۸. نسبت بیشینه‌ی برش در محل تکیه‌گاه‌های پایه‌ی میانی ناشی از تحلیل المان محدود V/α (تحت بار عادی آئین‌نامه‌ی ایران، دیافراگم عمود بر شاه‌تیر طولی).



شکل ۹. نسبت بیشینه‌ی برش در محل تکیه‌گاه‌های پایه‌ی میانی ناشی از تحلیل المان محدود، V/α (تحت بار کامیون استاندارد آشتو، دیافراگم عمود بر شاه‌تیر طولی).

ضرایب توزیع لنگر D_m و ضرایب توزیع برش D_s ، در پایه‌ی میانی پل ممتد مرکب دو دهانه با استفاده از روابط ۱ و ۲ تعیین می‌شوند:^[۶، ۷]

$$D_m = \frac{M}{M_{\max}} \quad (1)$$

$$D_s = \frac{V}{V_{\max}} \quad (2)$$

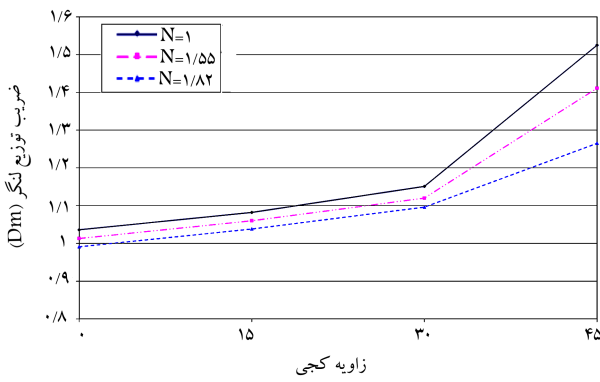
که در آنها، V و M به ترتیب بیشینه‌ی نیروی برشی و لشکرهای خمشی در شاه‌تیرهای داخلی و خارجی در پایه‌ی میانی پل ممتد مرکب ۲ دهانه تحت اثر یک خط، نصف بار عادی آئین‌نامه‌ی ایران که در روی یک تیر مجزا به دست می‌آید، M_{\max} و V_{\max} بیشینه‌ی نیروی برشی و لنگر ناشی تحلیل المان محدود در مدل سازی سه بعدی پل در شاه‌تیرهای داخلی و خارجی است. در محاسبه‌ی ضرایب ذکر شده در بارگذاری آشتو از بار یک خط چرخ کامیون استاندارد آشتو برای مقادیر V و M استفاده شده است.

۱.۸ اثر زاویه‌ی تورب در ضرایب توزیع لنگر
نتایج حاصل از تحلیل سه بعدی به روش المان محدود نشان داده است که ضرایب توزیع لنگر خمشی D_m در پایه‌ی میانی به طور چشمگیری در شاه‌تیرهای داخلی و خارجی برای پل ممتد با نسبت‌های مختلف تحت بار عادی ایران افزایش یافته‌اند. شکل‌های ۱۰ و ۱۱، به ترتیب اثر زاویه‌ی بیه بر روی ضرایب توزیع لنگر در شاه‌تیرهای داخلی و خارجی را نشان می‌دهد. همان‌طور که مشخص است، ضریب توزیع برای

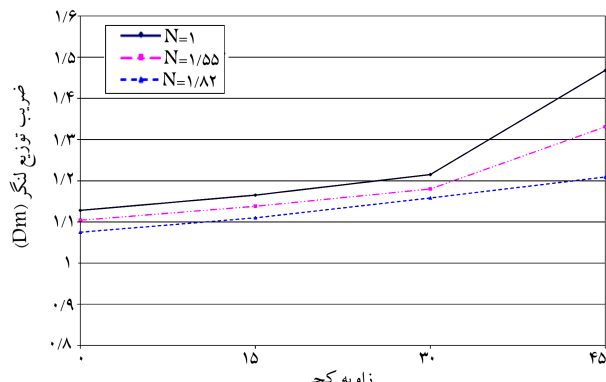
بیه، نیروهای برشی پایه‌ی میانی در شاه‌تیرهای خارجی افزایش و در شاه‌تیرهای داخلی کاهش می‌یابد.

۲. با افزایش نسبت ابعادی (طول دهانه‌ی بزرگ‌تر به طول دهانه‌ی کوچک‌تر)، برش در پایه‌ی میانی کاهش می‌یابد.

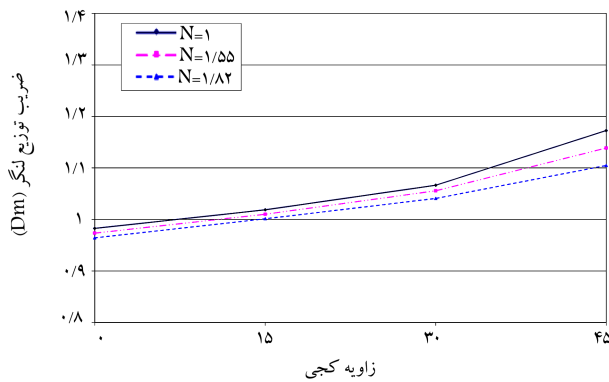
۸. ضرایب توزیع لنگر و برش در پایه‌ی میانی
مطالعات وسیعی روی ضرایب توزیع لنگر و برش صورت پذیرفته است، برای مثال در سال ۱۹۹۶، ضرایب توزیع لنگر و برش در پایه‌ی میانی و وسط دهانه در پل ممتد دو دهانه‌ی بیه‌دار به دست آورده و روابطی برای ضرایب توزیع ارائه شده است.^[۸] همچنین در سال ۲۰۰۶، اثر زاویه‌ی بیه، فاصله‌ی شاه‌تیرهای، و طول دهانه بر روی ضرایب توزیع برش در پیش از ۲۰۰ مدل پل دال و تیر بررسی شده است.^[۲۴] از مقایسه‌ی نتایج حاصل با ضرایب ارائه شده در مشخصات استاندارد آشتو و مشخصات ارائه شده در ضوابط LRFD، این نتیجه به دست آمده است که ضرایب توزیع برش در ضوابط LRFD در شاه‌تیرهای داخلی در پل با زوایای بیه‌ی بزرگ‌تر بسیار محافظه‌کارانه است. در مطالعات دیگری نیز بررسی‌هایی در ارزیابی ضرایب توزیع بار خطی آشتو در عرضه‌ها با شاه‌تیرهای I شکل، ضرایب توزیع در پل‌های باکس بتنی و ارزیابی روابط ساده شده در ضرایب توزیع انجام شده است.^[۲۵-۲۷]



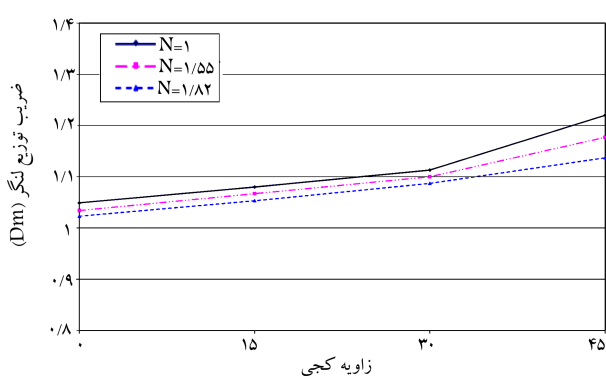
شکل ۱۲. اثر زاویه‌ی بیه در ضرایب توزیع لنگر در شاهتیرهای داخلی، تحت بار کامیون استاندارد آشتو، دیافراگم عرضی عمود بر شاهتیر طولی.



شکل ۱۵. اثر زاویه‌ی بیه در ضرایب توزیع لنگر در شاهتیرهای داخلی، تحت بار عادی آین نامه‌ی ایران، دیافراگم عرضی عمود بر شاهتیر طولی.



شکل ۱۳. اثر زاویه‌ی بیه در ضرایب توزیع لنگر در شاهتیرهای خارجی، تحت بار کامیون استاندارد آشتو، دیافراگم عرضی عمود بر شاهتیر طولی.



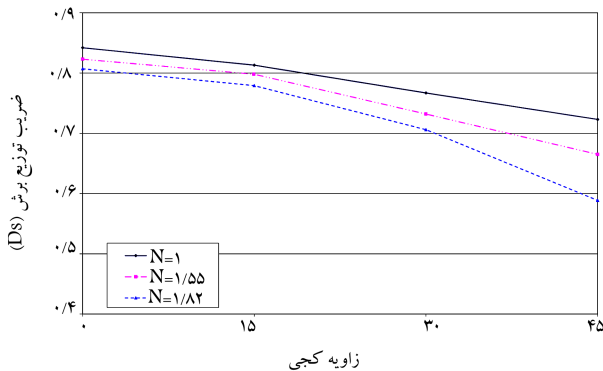
شکل ۱۱. اثر زاویه‌ی بیه در ضرایب توزیع لنگر در شاهتیرهای خارجی تحت بار عادی آین نامه‌ی ایران، دیافراگم عرضی عمود بر شاهتیر طولی.

۴۷٪ رسیده است. در حالی که افزایش این ضریب برای شاهتیرهای خارجی در نسبت ابعادی فوق تا زاویه‌ی بیه ۴۵ درجه در حدود ۲۰٪ بوده است. در هر حال کاهش لنگر در شاهتیرهای داخلی در اثر افزایش زاویه‌ی بیه بیشتر از شاهتیرهای خارجی است. بنابراین در طرح پل‌های بیه‌دار ممتد ۲ دهانه، شاهتیرهای خارجی کنترل‌کننده‌ی طرح خواهند بود. با مقایسه‌ی بارگذاری‌های آشتو و ایران در شاهتیرهای داخلی در زاویه‌ی بیه صفر می‌توان دریافت که ضریب توزیع برای بارگذاری ایران، ۸٪ بیشتر از بارگذاری آشتو بوده است.

۲.۸. اثر زاویه‌ی بیه در ضرایب توزیع نیروی برشی در پایه‌ی میانی اثر تورب عرشه در ضرایب توزیع نیروی برشی (D_s)، در پایه‌ی میانی برای شاهتیرهای داخلی در پل تحت بارگذاری بار عادی آین نامه‌ی ایران در شکل ۱۴ نشان داده شده است، که مطابق آن افزایش ضریب D_s در شاهتیرهای داخلی تا زاویه‌ی بیه ۳۰ درجه کمتر از ۱۰٪ بوده و زمانی که زاویه‌ی بیه به ۴۵ درجه رسیده است، این ضریب به حدود ۲۰٪ افزایش پیدا کرده است. افزایش ضریب توزیع برش در شاهتیرهای داخلی معلوم می‌سازد که نیروهای برشی در پایه‌ی میانی با افزایش زاویه‌ی بیه در پل ممتد مرکب ۲ دهانه با نسبت‌های ابعادی مختلف کاهش پیدا می‌کند. برخلاف شاهتیرهای داخلی ضرایب توزیع برش در شاهتیرهای خارجی در پل ممتد ۲ دهانه تحت بارگذاری بار عادی آین نامه‌ی ایران در اثر افزایش زاویه‌ی بیه کاهش می‌باید. شکل ۱۵، تغییرات ضریب D_s را نسبت به زاویه‌ی بیه نشان می‌دهد. این عامل برای هر ۳ نسبت ابعادی در نظر گرفته شده به‌طور محسوسی در برابر افزایش زاویه‌ی

نسبت دهانه‌ی ۱ = N در شاهتیرهای داخلی تا زاویه‌ی بیه ۳۰ درجه در حدود ۹٪ افزایش پیدا کرده و با افزایش زاویه‌ی بیه تا ۴۵ درجه به حدود ۳۴٪ رسیده است. شکل ۱۱، اثر زاویه‌ی بیه بر روی ضرایب توزیع لنگر پایه در نسبت‌های ابعادی مختلف را برای شاهتیرهای خارجی نشان می‌دهد. الگوی مشابهی بین ضرایب توزیع لنگر در شاهتیرهای داخلی و خارجی وجود دارد. در هر حال افزایش ضریب D_m در شاهتیرهای خارجی تا زاویه‌ی بیه ۴۵ درجه در نسبت ابعادی ۱ = N تقریباً ۱۷٪ بوده است. می‌توان نتیجه گرفت که کاهش لنگر در شاهتیرهای داخلی بیشتر از شاهتیرهای خارجی در پل ممتد ۲ دهانه در اثر افزایش زاویه‌ی بیه است. ضرایب توزیع لنگر در محل تکیه‌گاه‌های میانی پل ممتد با نسبت‌های دهانه، رابطه‌ی معکوس دارد. به عبارت دیگر، با افزایش نسبت ابعادی ضرایب توزیع کاهش می‌باید. این اثر برای زوایای بزرگ‌تر از ۳۰ درجه محسوس‌تر است.

شکل ۱۲ و ۱۳، به ترتیب اثر زاویه‌ی بیه بر روی ضرایب توزیع لنگر در شاهتیرهای داخلی و خارجی در محل تکیه‌گاه‌های میانی پل ممتد ۲ دهانه با نسبت‌های ابعادی مختلف تحت بارگذاری بارکامیون استاندارد آشتو را نشان می‌دهد. همان‌طور که مشخص است، در این بارگذاری نیز با افزایش زاویه‌ی بیه، ضرایب توزیع در شاهتیرهای داخلی و خارجی افزایش پیدا می‌کند. به نظر می‌رسد تورب عرشه برای زوایای کمتر از ۳۰ درجه اثر قابل توجهی بر روی ضریب D_m نداشته و شبیه نمودار توزیع لنگر تا زاویه‌ی مذکور برای هر ۳ نسبت ابعادی، یکنواخت بوده است. افزایش ضریب توزیع در شاهتیرهای داخلی تا زاویه‌ی ۴۵ درجه در حدود ۱۲٪ برای نسبت ابعادی ۱ = N بوده و با افزایش زاویه تا ۴۵ درجه، به حدود



شکل ۱۳. اثر زاویه‌ی بیه در ضرایب توزیع برش در شاه‌تیرهای خارجی، تحت بار کامیون استاندارد آشتتو، دیافراگم عرضی عمود بر شاه‌تیر طولی.

آشتتو در شاه‌تیرهای داخلی در حدود ۴٪ بیشتر از بارگذاری بار عادی آینن نامه‌ی ایران است. ضرایب D_s در شاه‌تیرهای خارجی با افزایش زاویه‌ی بیه کاهش می‌یابد، این کاهش برای زوایای بزرگ تراز ۳۰ درجه محسوس است، به‌طوری‌که در زاویه‌ی بیه ۴۵ درجه به حدود ۲۳٪ رسیده است. در زاویه‌ی بیه صفر درجه تحت اثر بار کلی، نیروی برشی در شاه‌تیرهای داخلی بیشتر از شاه‌تیرهای خارجی است. در هر حال با افزایش زاویه‌ی بیه، نیروی برشی در شاه‌تیرهای خارجی افزایش پیدا می‌کند.

۹. دقت روش ساده‌شده در تحلیل پل‌های بیه‌دار ممتد

در سال ۱۹۹۰، روش ساده‌شده‌ی بیه تحلیل عرشه‌های بیه‌دار ممتد با حالت آرایش دیافراگم عرضی عمود بر شاه‌تیر طولی پیشنهاد شده است.^[۱] که می‌تواند برای پل‌هایی با بیش از ۵ عدد شاه‌تیر طولی به صورت محافظه‌کارانه مورد استفاده قرار گیرد. بیشینه‌ی لنگر طراحی طبق رابطه‌ی ۳ به دست می‌آید:

$$M_d = M_o \left(\frac{b}{D} \right) K I \quad (3)$$

که در آن، تمامی معادلات در سیستم SI و نیز M_d لنگر نهایی طراحی، M_o بیشینه‌ی لنگر استاتیک ناشی از یک ردیف بار چرخ یا نصف بار معادل، (b/D) ضرایب توزیع بار جانشی، K ضرایب کاهش تورب در پل، b فاصله‌ی شاه‌تیرها و I ضرایب ضربه هستند.

ضرایب ضربه بر مبنای آینن نامه‌ی آشتتو و ایران به ترتیب مطابق روابط ۴ و ۵ است:

$$I = \frac{L + 53.24}{L + 38} \quad (4)$$

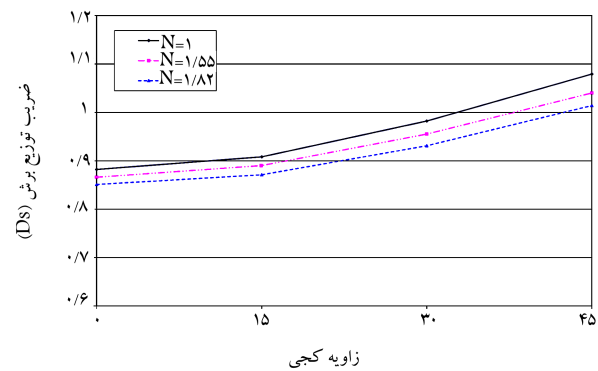
$$\delta = 1.3 - 0.005L - 1.5h \geq 1 \quad (5)$$

که در آن، L طول دهانه و h ارتفاع خاکریز روی پل بر حسب متر است. ضرایب کاهش تورب عرشه (K)، برای شاه‌تیرهای خارجی و داخلی به ترتیب طبق روابط ۶ و ۷ به دست می‌آید:

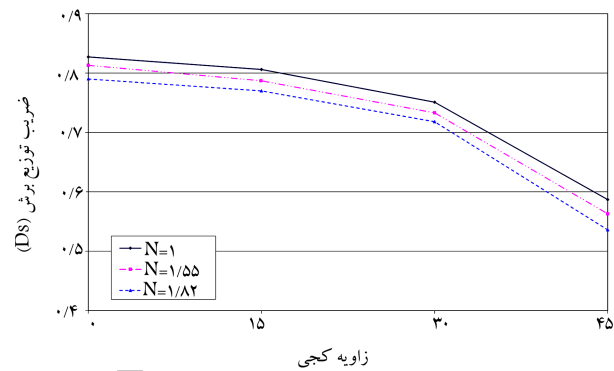
$$K = 0.886 + 0.131 \cos \alpha + \left(\frac{b}{aH} \right) (-12.4 + 11.3 \cos \alpha) \quad (6)$$

$$K = 0.858 + 0.164 \cos \alpha + \left(\frac{b}{aH} \right) (-16.8 + 17.7 \cos \alpha) \quad (7)$$

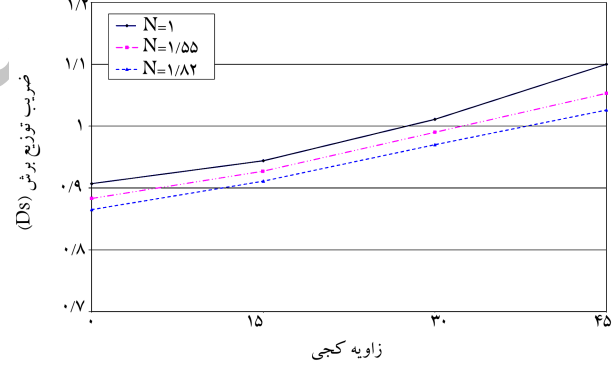
که در آن‌ها، b فاصله‌ی شاه‌تیرها، α زاویه‌ی تورب، a طول دهانه، و کمیت H عبارت است از سختی خمی تیر مركب به سختی خمی عرضی دال در واحد عرض دهانه، که در مطالعاتی در سال ۱۹۹۰ ارائه شده است.^[۲]



شکل ۱۴. اثر زاویه‌ی بیه در ضرایب توزیع برش در شاه‌تیرهای داخلی، تحت بار عادی آینن نامه‌ی ایران، دیافراگم عرضی عمود بر شاه‌تیر طولی.



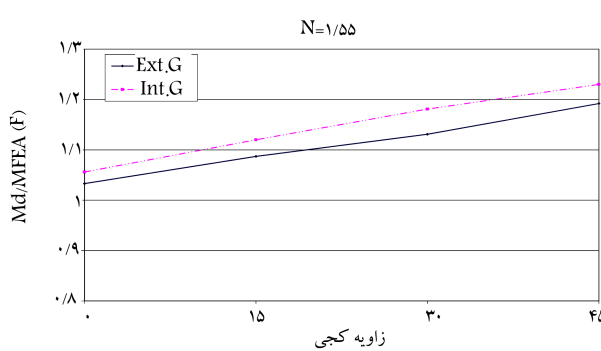
شکل ۱۵. اثر زاویه‌ی بیه در ضرایب توزیع برش در شاه‌تیرهای خارجی، تحت بار عادی آینن نامه‌ی ایران، دیافراگم عرضی عمود بر شاه‌تیر طولی.



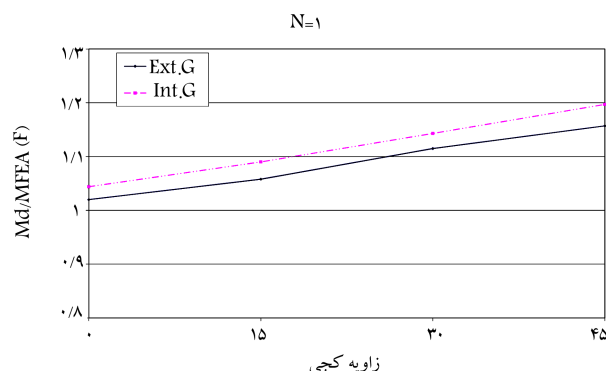
شکل ۱۶. اثر زاویه‌ی بیه در ضرایب توزیع برش در شاه‌تیرهای داخلی، تحت بار عادی آشتتو، دیافراگم عرضی عمود بر شاه‌تیر طولی.

بیه کاهش می‌یابد. به‌طوری‌که برای نسبت ابعادی $N = 1$ ، تا زاویه‌ی بیه ۳۰ درجه در حدود ۸٪ کاهش نشان داده و این میزان با افزایش زاویه‌ی بیه محسوس شده و در زاویه‌ی ۴۵ درجه به حدود ۲۵٪ رسیده است. کاهش ضرایب توزیع در پایه میانی در شاه‌تیرهای خارجی نشان‌دهنده افزایش نیروی برشی در اثر افزایش تورب عرشه است.

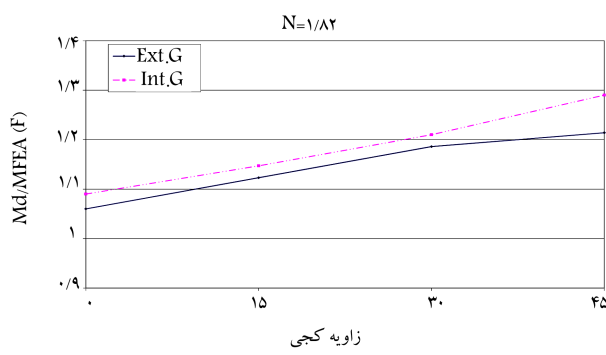
شکل‌های ۱۶ و ۱۷، به ترتیب تغییرات ضرایب توزیع برش را برای شاه‌تیرهای داخلی و خارجی در برابر افزایش زاویه‌ی بیه تحت بارگذاری بار کامیون استاندارد آشتتو نشان می‌دهد. روند تغییرات ضرایب D_s در بارگذاری آشتتو با الگویی مشابه بارگذاری ایران است. با این حال به نظر می‌رسد، افزایش ضرایب توزیع در بارگذاری



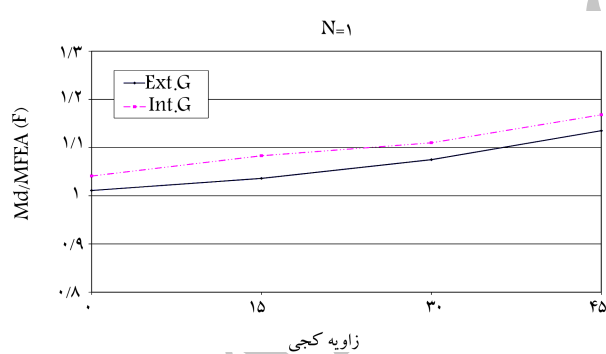
شکل ۱۹. نسبت لنگر ناشی از رابطه‌ی پیشنهادی به لنگر تحلیل المان محدود (F)، در پل با ۲ باند ورودی، تحت بار عادی ایران برای نسبت ابعادی $N = 1,55$ در شاهتیرهای خارجی (Ext.G) و داخلی (Int.G).



شکل ۲۰. نسبت لنگر ناشی از رابطه‌ی پیشنهادی به لنگر تحلیل المان محدود (F)، در پل با ۲ باند ورودی، تحت بار عادی ایران برای نسبت ابعادی $N = 1$ در شاهتیرهای خارجی (Ext.G) و داخلی (Int.G).



شکل ۲۱. نسبت لنگر ناشی از رابطه‌ی پیشنهادی به لنگر تحلیل المان محدود (F)، در پل با ۲ باند ورودی، تحت بار عادی ایران برای نسبت ابعادی $N = 1,82$ در شاهتیرهای خارجی (Ext.G) و داخلی (Int.G).



شکل ۲۲. نسبت لنگر ناشی از رابطه‌ی پیشنهادی به لنگر تحلیل المان محدود (F)، در پل با ۲ باند ورودی، تحت بار کامیون استاندارد آشتو برای نسبت ابعادی $N = 1$.

و $1,82$ در پل ۲ دهانه تحت بارگذاری ۳ کامیون استاندارد آشتو را نشان می‌دهد. همان‌طور که مشخص است، در بارگذاری آشتو نیز مقادیر لنگر خمشی را بین نسبت به تحلیل المان محدود بیشتر برآورد می‌کند. با توجه به نمودارها می‌توان دریافت که نتایج رابطه‌ی پیشنهادی با نسبت‌های ابعادی ارتباط مستقیمی دارد. پیشنهادی خطای در نسبت ابعادی $N = 1,82$ در زاویه‌ی بیهی صفر به ترتیب در شاهتیرهای داخلی و خارجی برابر با 9% و 16% بوده است، که با افزایش زاویه تا 45 درجه، خطای رابطه‌ی 3 به ترتیب به حدود 21% و 45% افزایش پیدا کرده است. بنابراین استفاده از رابطه‌ی مذکور در تحلیل پل‌های ممتد بیهوده است. در هر حال خطای رابطه‌ی 3 برای نسبت ابعادی 1 در ۲ دهانه منجر به مقادیری خواهد شد که محافظه‌کارانه و غیراقتصادی خواهد بود.

برای بررسی دقیق روش ذکرشده، تلاش‌های خمشی در تکیه‌گاه‌های میانی پل تحت اثر بارگذاری بار عادی آئین نامه‌ی ایران و بار کامیون استاندارد آشتو ناشی از تحلیل سه بعدی به روش اجزاء محدود با نتایج حاصل از رابطه‌ی پیشنهادی مقایسه شده است. بنابراین نتایج به صورت نسبت لنگرهای خمشی رابطه‌ی پیشنهادی به لنگرهای خمشی روش المان محدود در مقابل زاویه‌ی بیهی در شاهتیرهای خارجی (Ext. G) و شاهتیرهای داخلی (Int. G) بررسی شده است. ضریب تغییرات لنگر F نیز به صورت رابطه‌ی 8 تعریف می‌شود:

$$F = \frac{M_d}{M_{FEA}} \quad (8)$$

که در آن، M_d پیشنهادی لنگر طراحی در روش پیشنهادی و M_{FEA} پیشنهادی لنگر ناشی از تحلیل المان محدود است.

شکل ۱۸، تغییرات نسبت لنگر F را در مقابل زاویه‌ی بیهی برای نسبت دهانه‌ی $N = 1$ نشان می‌دهد. به نظر می‌رسد رابطه‌ی پیشنهادی، مقادیر پیشنهادی لنگرهای خمشی را بیشتر از نتایج تحلیل المان محدود تخمین می‌زنند. در پل بدون بیهی متناظر، تحت بار عادی آئین نامه‌ی ایران در شاهتیرهای داخلی، لنگر حاصل از معادله‌ی پیشنهادی 5% بیشتر از نتایج تحلیل المان محدود است. این تفاوت با افزایش زاویه‌ی بیهی بیشتر شده است، به طوری که در زاویه‌ی 45 درجه به حدود 16% رسیده است. استنباط می‌شود که خطای در شاهتیرهای خارجی کمتر از شاهتیرهای داخلی است.

شکل‌های ۱۹ و ۲۰، به ترتیب تغییرات نسبت لنگر F را برای نسبت‌های دهانه $N = 1,55, 1,82$ در شاهتیرهای داخلی و خارجی نشان می‌دهند. همان‌طور که مشخص است، رابطه‌ی 3 مقادیر لنگر خمشی را بین نسبت به تحلیل المان محدود بیشتر برآورد می‌کند. با توجه به نمودارها می‌توان دریافت که نتایج رابطه‌ی پیشنهادی با نسبت‌های ابعادی ارتباط مستقیمی دارد. پیشنهادی خطای در نسبت ابعادی $N = 1,82$ در زاویه‌ی بیهی صفر به ترتیب در شاهتیرهای داخلی و خارجی برابر با 9% و 16% بوده است، که با افزایش زاویه تا 45 درجه، خطای رابطه‌ی 3 به ترتیب به حدود 21% و 45% افزایش پیدا کرده است. بنابراین استفاده از رابطه‌ی مذکور در تحلیل پل‌های ممتد بیهوده است. در هر حال خطای رابطه‌ی 3 برای نسبت ابعادی 1 در ۲ دهانه منجر به مقادیری خواهد شد که محافظه‌کارانه و غیراقتصادی خواهد بود.

شکل‌های ۲۱ الی ۲۳، به ترتیب میران خطای در پیشنهادی لنگر ناشی از رابطه‌ی پیشنهادی را به نتایج تحلیل المان محدود در نسبت‌های ابعادی $1,55, 1$ نشان می‌نمایند.

بیه در تلاش های خمینی و برشی و ضرایب توزیع برش و خمش در پل های ممتد مرکب بتنه - فولادی، با استفاده از روش تحلیل المان موردن بررسی قرار گرفته است. بدین منظور مدل هایی از پل های ۲ دهانه با نسبت ابعادی مختلف جهت بررسی استفاده شده اند. نتایج حاصل تحت بارگذاری های بار عادی آئین نامه ای ایران و بار کامیون استاندارد آشتو برای نسبت های لنگرهای خمینی، برشی، و ضرایب توزیع بیانگر این موارد هستند:

۱. تحت بارگذاری بار عادی آئین نامه ای ایران و بار کامیون استاندارد آشتو، بیشینه ای لنگرهای خمینی در تکیه گاه های میانی پل ممتد مرکب ۲ دهانه در اثر افزایش زاویه بیه کاهش می یابد. تورب عرضه، تأثیر بیشتری در شاه تیرهای داخلی نسبت به شاه تیرهای خارجی دارد، این اثر برای زوایی بزرگ تر از ۳۰ درجه چشمگیر است.

۲. در طراحی پل های ممتد مرکب بیه دار، شاه تیرهای خارجی کنترل کننده طراحی از نقطه نظر لنگرهای خمینی تکیه گاه های میانی پل خواهد بود.

۳. آرایش دیافراگم های عرضی تأثیر به سزاپی در توزیع تلاش های خمینی دارند. این تأثیر در زوایای مختلف بیه متفاوت خواهد بود. آرایش دیافراگم عرضی عمود بر محور طولی شاه تیر، بهترین آرایش برای ضرایب توزیع لنگر در پل های مورب به لحاظ کاهش بیشتر در لنگر خمینی است.

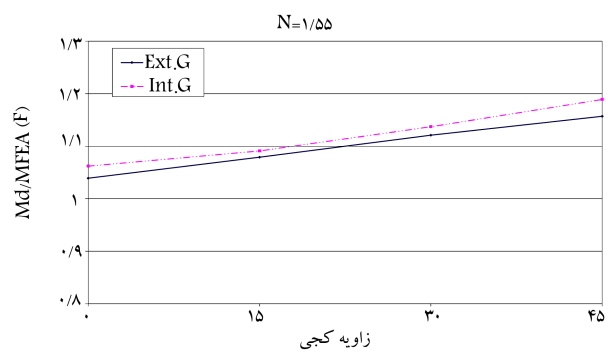
۴. کاهش لنگر در شاه تیرهای داخلی و خارجی در اثر بار کامیون استاندارد آشتو بیشتر از بارگذاری حاصل از بار عادی آئین نامه ای ایران در پل متناظر است؛ در نتیجه، نتایج بارگذاری آئین نامه ای ایران نسبت به بارگذاری آئین نامه ای آشتو در پل های بیه دار ممتد ۲ دهانه محافظه کارانه تر خواهد بود.

۵. در پل های ممتد مرکب بیه دار ۲ دهانه تحت بارگذاری بار عادی آئین نامه ای ایران و بار کامیون استاندارد آشتو، بیشینه ای نیروی برشی در محل تکیه گاه میانی پل در شاه تیرهای خارجی افزایش و در شاه تیرهای داخلی کاهش می یابد.

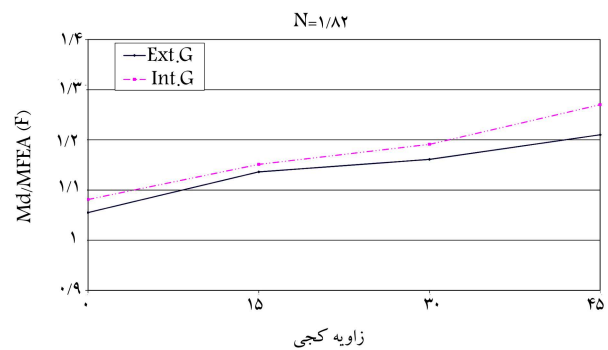
۶. با افزایش نسبت دهانه، نیروی برشی در پایه های میانی برای هر ۲ بارگذاری مذکور کاهش می یابد. در حالت کلی، در حالت آرایش دیافراگم عرضی موازی خطوط تکیه گاهی و زاویه بیه، تورب عرضه تأثیر چندانی در نیروی برشی در تکیه گاه های میانی پل ممتد مرکب بیه دار در شاه تیرهای خارجی و داخلی ندارد.

۷. رابطه بیشنهادی در تحلیل عرضه های بیه دار ممتد، لنگرهای خمینی طولی در پایه های بیه دار را نسبت به لنگرهای حاصل از تحلیل المان محدود، در هر ۲ بارگذاری آشتو و آئین نامه ای ایران، بیشتر برآورد می کند. نتایج بررسی ها نشان داده است که استفاده از نتایج رابطه ای مذکور محافظه کارانه است.

۸. خطای حاصل رابطه ای ساده شده در شاه تیرهای داخلی بیشتر از شاه تیرهای خارجی است، به طوری که در زاویه بیه ۴۵ درجه در نسبت ابعادی ۱/۸۲ خطای ذکر شده در شاه تیرهای داخلی در بارگذاری آشتو، ۸٪ بیشتر از شاه تیرهای خارجی است.



شکل ۲۲. نسبت لنگر ناشی از رابطه ای پیشنهادی به لنگر تحلیل المان محدود (F)، در پل با ۲ باند ورودی، تحت بار کامیون استاندارد آشتو برای نسبت ابعادی N = ۱/۵۵



شکل ۲۳. نسبت لنگر ناشی از رابطه ای پیشنهادی به لنگر تحلیل المان محدود (F)، در پل با ۲ باند ورودی، تحت بار کامیون استاندارد آشتو برای نسبت ابعادی N = ۱/۸۲

قریباً نزدیک به هم بوده و به بیشینه ای ۱۵٪ در زاویه بیه ۴۵ درجه رسیده است. در مورد بارگذاری آشتو نیز خطای رابطه ای ۳ با نسبت های ابعادی ارتباط مستقیمی دارد، به طوری که بیشینه ای خطای در نسبت دهانه ۱/۸۸ به حدود ۲۲٪ و ۱۷٪ به ترتیب در شاه تیرهای داخلی و خارجی رسیده است.

با مقایسه نمودارهای مربوط به ۲ حالت بارگذاری می توان دریافت که خطای حاصل از رابطه ای پیشنهادی برای بارگذاری بار کامیون استاندارد آشتو کمتر از بار عادی آئین نامه ای ایران است. تفاوت این خطای برای دو بارگذاری فوق در حدود ۴٪ است.

۱۰. نتیجه گیری

با توجه به نقصان معیارهای آئین نامه بیه در طراحی پل های ممتد مورب، اثر زاویه بیه

پانوشت ها

1. moving load
2. linear multi-step static

منابع (References)

1. AASHTO, *Standard Specification for Highway Bridges*, Washington D.C., AASHTO (2003).

2. Ontario Ministry of Transportation and Comm., *Ontario Highway Bridge Design Code (OHBC)*, 3rd ed., Downsview, Ontario: Highway Engineering Division, OMTC (1992).
3. AASHTO, *LRFD Bridge Design Specifications*, 5th Ed., Washington DC.: AASHTO (2010).
4. Khaleel, M.A. and Itani, R. "Live-load moment for continuous Skew bridge", *Journal of Structural Engineering*, **116**(9), pp. 2361-2373 (1990).
5. Helba, A. and Kennedy, J. "Parametric study on the collapse loads of Skew composite bridge", *Journal of Structural Engineering*, **120**(5), pp. 1415-1433 (1994).
6. Huang, H., Shenton, H. and Chajes, M. "Load distribution for a highly skewed bridge, testing and analysis", *Journal of Bridge Engineering*, **9**(6), pp. 558-562 (2004).
7. Ebeido, T. and Kennedy, J. "Girder moment in continuous Skew composite bridge", *Journal of Bridge Engineering*, **1**(1), pp. 37-44 (1996).
8. Ebeido, T. and Kennedy, J. "Shear and reaction distributions in continuous Skew composite bridges", *Journal of Bridge Engineering*, **1**(4), pp. 155-165 (1996).
9. Khaloo, A. and Mirzabozorg, H. "Load distribution factor in simply supported Skew bridge", *Journal of Bridge Engineering*, **8**(4), pp. 241-244.
10. Ashebo, B.D. and Tommy, H. "Evaluation of dynamic load on a Skew box girder continuous bridge", *Journal of Structural Engineering*, **29**(6), pp. 1052-1063 (2006).
11. Menassa, C., Mabsout, M., Tarhini, K. and Frederick, G. "Influence of skew angle on reinforced concrete slab bridge", *Journal of Bridge Engineering*, **12**(2), pp. 205-214 (2007).
12. Zokaie, T., Osterkamp, T.A. and Imbsen, R.A. "Distribution of wheel loads on highway bridges", Transportation Research Record 1290, Transportation Research Board, Washington D.C. (1991).
13. Ashebo, D., Chan, T.H.T. and Ling, Y. "Evaluation of dynamic load on a skew box girder continuous bridge. Part I: Field test and modal analysis", *Journal of Structural Engineering*, **29**(6), pp. 1052-1063.
14. Nouri, G. and Ahmadi, Z. "Influence of Skew angle on continuous composite girder bridge", *Journal of Bridge Engineering*, **17**(4), pp. 617-623 (2012).
15. Hea, X., Shenga, X., Scanlonb, A., Linzellb, D. and Yua, X. "Skewed concrete box girder bridge static and dynamic testing and analysis", *Engineering Structures*, **39**, pp. 38-49 (2012).
16. Bishara, A., Liu, M. and El-Ali, N. "Wheel load distribution on simply supported Skew I-beam composite bridges", *Journal of Structural Engineering*, **119**(2), pp.399-419 (1993).
17. *The Code of Practice for the Analysis and Design of Concrete Bridges*, The Islamic Republic of Iran, Vice Presidency for Strategic Planning and Supervision, Tehran (2008).
18. *Standard Loads for Bridges*, The Islamic Republic of Iran, Vice Presidency for Strategic Planning and Supervision (2000).
19. Hays, C.O., Sessions, L.M. and Berry, A. "Further studies on lateral load distribution using a finite element method", Washington D.C., Transportation Research Record 1072, Transportation Research Board, pp. 6-14 (1986).
20. Imbsen, R.A. and Nutt, R.V. "Load distribution study on highway bridges using STRUDL FEA", in *Proc., Conf. on Computing in Civil Engineering*, Atlanta (1978).
21. Brockenbrough, R.L. "Distribution factors for curved I-girder bridges", *Journal of Structural Engineering*, **112**(10), pp. 2200-2215 (1986).
22. Tarhini, K.M. and Frederick, G.R. "Wheel load distribution in I-girder highway bridges", *Journal of Structural Engineering*, **118**(5), pp. 1285-1294 (1992).
23. I. Computersand Structures, *SAP2000 User's Manual*, Berkeley, CA: (CSI) (2000).
24. Barr, P.J. and Amin, M.D.N. "Shear live-load distribution factors for I-girder bridges", *Journal of Bridge Engineering*, **11**(2), pp. 197-204 (2006).
25. Cai, C.S. "Discussion on AASHTO LRFD load distribution factors for slab-on-girder bridge", *Pract. Period. Struct. Des. Constr.*, **10**(3), pp. 171-176 (2005).
26. Hughs, E. and Idriss, R. "Live-load distribution factors for prestressed concrete, spread box-girder bridge", *Journal of Bridge Engineering*, **11**(5), pp. 573-581 (2006).
27. Puckett, J.A., Huo, X.S., Patrick, M.D., Jablin, M.C., Mertz, D. and Peavy, M.D. "Simplified live load distribution factor equations for bridge design", *Transp. Res. Rec.*, **11**(5), pp. 67-78 (2008).